

УДК 533.6.011.8:539.198.08

К ОПРЕДЕЛЕНИЮ ФУНКЦИИ РАСПРЕДЕЛЕНИЯ МОЛЕКУЛ
ПО СКОРОСТИМ В МОЛЕКУЛЯРНОМ ПУЧКЕ
МЕТОДОМ МЕХАНИЧЕСКОГО СЕЛЕКТИРОВАНИЯ

Э. П. Павлов, В. Д. Перминов

(Москва)

Приводятся результаты решения некорректной по А. Н. Тихонову задачи о восстановлении функции распределения молекул по скоростям в молекулярном пучке по экспериментальным значениям интенсивности. Указывается на немаксвелловский характер полученной функции распределения.

Одним из методов определения функции распределения по скоростям $f(v)$ в свободно-молекулярном потоке является метод механического селектирования [1-3]. Система для определения функции $f(v)$ указанным методом состоит из механического селектора и детектора. Помещенный в молекулярный пучок механический селектор, вращаясь со скоростью ω , пропускает только те молекулы пучка, скорости которых лежат в некотором интервале $[v_0(\omega) - \Delta_1(\omega), v_0(\omega) + \Delta_2(\omega)]$, называемом полосой пропускания селектора. Детектор, находящийся за селектором, регистрирует прошедшие через него молекулы.

Простой механический селектор, который обладает рядом преимуществ по сравнению с селекторами, использовавшимися ранее, описан в работе [4]. В настоящей работе представлена методика обработки экспериментальных данных, полученных при помощи такого селектора.

1. Будем считать, что все молекулы, которые подлетают к щели стоящего перед селектором коллиматора, летят параллельно его оси. Тогда функция распределения $f(v)$, определяемая методом механического селектирования, находится из следующего уравнения:

$$\int_{v_0-\Delta_1}^{v_0+\Delta_2} H(v_0, v) vf(v) dv = J(v_0) \quad (1.1)$$

Здесь $f(v) dv$ — число молекул в единице объема, имеющих скорости в интервале $[v, v + dv]$; $J(v_0)$ — зарегистрированная интенсивность молекул, имеющих скорости из интервала $[v_0 - \Delta_1, v_0 + \Delta_2]$; $H(v_0, v)$ — прозрачность селектора, равная отношению интенсивности молекул пучка со скоростями из интервала $[v, v + dv]$ на выходе из селектора к их интенсивности на входе в него (вне интервала $[v_0 - \Delta_1, v_0 + \Delta_2]$ функция $H(v_0, v) \equiv 0$).

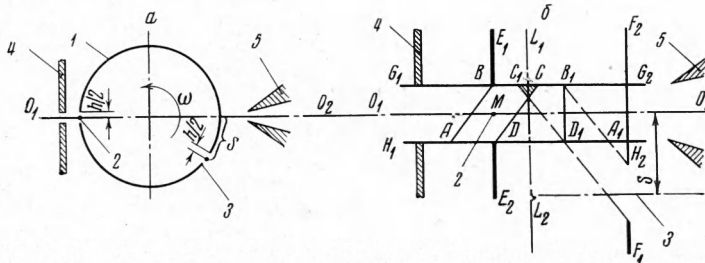
Для системы, которая состоит из плоского реверсивного селектора и детекторного устройства, описанных соответственно в работах [4,5], функция $H(v_0, v)$ имеет следующий вид:

$$H(v_0, v) = \eta K(v_0, v)$$

Здесь η — коэффициент захвата, равный отношению интенсивности молекул, которые попали в селектор, к интенсивности свободно-молекулярного порока перед селектором (за интенсивность потока принимается ин-

тенсивность, регистрируемая детектором при отсутствии селектора), а $K(v_0, v)$ — функция пропускания селектора, равная отношению интенсивности молекул со скоростями v из $[v, v + dv]$, прошедших через селектор, к интенсивности молекул, попавших в селектор (вне интервала $[v_0 + \Delta_1, v_0 + \Delta_2]$ функция $K(v_0, v) \equiv 0$).

Функция пропускания плоского реверсивного селектора практически совпадает с функцией пропускания однокольцевого двухщелевого селектора [4].



Фиг. 1

Такой селектор, схематически изображенный на фиг. 1, *a* представляет собой тонкое кольцо 1 радиуса R с входной 2 и выходной 3 щелями шириной h . Там же изображены щель коллиматора 4 и щель заборника детектора 5, центры которых вместе с центром кольца O лежат на одной оси O_1O_2 . Кольцо вращается с угловой скоростью ω . Ось вращения кольца 1 перпендикулярна оси O_1O_2 , длина дуги закрутки селектора равна s .

Взаимодействие такого селектора с потоком при $h \ll R$ удобно рассматривать, воспользовавшись схемой, представленной на фиг. 1, *б*. Две тонкие прямые ленты, которые изображены на этой фигуре прямыми E_1E_2 и F_1F_2 , перпендикулярными оси O_1O_2 , движутся в противоположных направлениях со скоростью ωR . Расстояние между лентами равно $2R$, ширина входной 2 и выходной 3 щелей h на лентах E_1E_2 и F_1F_2 равна ширине щелей коллиматора 4 и заборника 5. Расстояние от центра выходной щели 3 до оси O_1O_2 в момент, когда центр входной щели 2 лежит на этой оси, равно s . Граница потока между коллиматором и заборником изображена прямыми G_1G_2 и H_1H_2 .

Так как согласно предположению все подлетающие к щели коллиматора молекулы летят параллельно оси O_1O_2 , то во время прохождения щели 2 мимо щели 4 в селектор попадут только те молекулы со скоростями из интервала $[v, v + dv]$, которые находятся внутри параллелограмма $ABCD$, стороны AD и BC которого лежат на границах потока и равны $vh/\omega R$, а диагональ BD является его высотой. Параллелограмм $ABCD$ движется как целое со скоростью v вдоль оси O_1O_2 .

На фиг. 1, *б* нанесен пунктиром след выходной щели 3 на плоскости, неподвижно связанной с параллелограммом $ABCD$. Очевидно, что через селектор пройдут молекулы, которые находятся в заштрихованной части параллелограмма $ABCD$, лежащей на следе выходной щели 3.

Функция пропускания селектора $K(v_0, v)$ равна отношению заштрихованной площади S' к общей площади S параллелограмма $ABCD$ ($S = h^2v/\omega R$). Для вычисления S' заметим, что она является общей частью параллелограммов $ABCD$ и $A_1B_1C_1D_1$, который получается при пересечении следа щели 3 с границами потока G_1G_2 и H_1H_2 и является зеркальным отображением $ABCD$ относительно оси L_1L_2 . Если расстояние между центрами этих параллелограммов MM_1 обозначить через x , то, как нетрудно

показать, площадь S' определяется из следующего выражения:

$$S' = \begin{cases} h(2a - x)^2/4a, & a \leq x \leq 2a \\ h(2a^2 - x^2)/4a, & -a \leq x \leq a \\ h(2a + x)^2/4a, & -2a \leq x \leq -a \\ a = AD = A_1 D_1 = hv/\omega R \end{cases} \quad (1.2)$$

Расстояние x определяется по формуле

$$x = 2R - sv/\omega R \quad (1.3)$$

Скорость v_0 , при которой S' максимальна ($x = 0$), называется далее основной скоростью молекул, пропускаемых селектором, вращающимся с угловой скоростью ω

$$v_0 = 2R^2 \omega / s \quad (1.4)$$

Такое же выражение в работе [4] получено для молекул, пропускаемых селектором, у которого величина $h \rightarrow 0$.

Воспользовавшись (1.2) — (1.4), получим выражение для функции пропускания

$$K(y) = \begin{cases} (1 + 2\epsilon - y)^2 / 4\epsilon^2, & 1 + \epsilon \leq y \leq 1 + 2\epsilon \\ (2\epsilon^2 - 1 + 2y - y^2) / 4\epsilon^2, & 1 - \epsilon \leq y \leq 1 + \epsilon \\ (1 - 2\epsilon - y)^2 / 4\epsilon^2, & 1 - 2\epsilon \leq y \leq 1 - \epsilon \end{cases} \quad (1.5)$$

Здесь $y = v_0 / v$, а $\epsilon = h / s \ll 1$. В случае, когда изменение $f(v)$ в пределах полосы пропускания мало, распределение по скоростям в потоке перед селектором может быть определено непосредственно по результатам измерений. Действительно, из (1.5) и (1.1) получаем

$$J(v_0) = \eta v_0^2 f(v_0) \int_{1-2\epsilon}^{1+2\epsilon} \frac{K(y)}{y^3} dy = \eta v_0^2 f(v_0) \Phi(\epsilon)$$

Отсюда

$$f(v) = \frac{J(v)}{\eta v^2 \Phi(\epsilon)}, \quad \Phi(\epsilon) = \frac{1}{4\epsilon^2} \ln \frac{(1 + 2\epsilon)(1 - \epsilon)^2}{(1 - 2\epsilon)(1 + \epsilon)^2} \quad (1.6)$$

В случае, когда изменением $f(v)$ на полосе пропускания пренебречь нельзя (что типично для высокоскоростных молекулярных пучков), необходимо решать интегральное уравнение (1.1) с ядром (1.5). Это исходное уравнение селекции является частным случаем интегрального уравнения первого рода, задача нахождения решения которого в общем случае является некорректно поставленной. Методам решения таких задач, называемых иногда обратными, посвящены многочисленные работы (см., например, [6–10]).

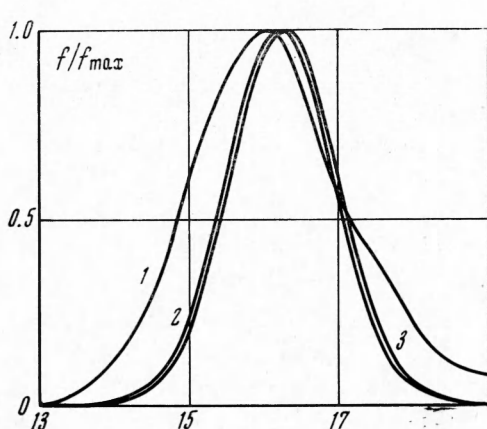
В данной работе для решения интегрального уравнения использовался метод регуляризации, предложенный в работе [6]. Согласно этому методу семейство приближенных решений $f^\alpha(v)$, сходящихся при $\alpha \rightarrow 0$ к решению (1.1), если правая часть $J(v_0)$ задана точно, является экстремалями функционала

$$\begin{aligned} M^\alpha[f, J] &= N[f, J] + \alpha \Omega[f] \\ N[f, J] &= \int_0^\infty \left\{ \eta \int_{v_0 - \Delta_1}^{v_0 + \Delta_2} K(v_0, v) vf(v) dv - J(v_0) \right\} dv_0 \\ \Omega[f] &= \int_0^\infty \left[\left(\frac{df}{dv} \right)^2 + f^2 \right] dv \end{aligned}$$

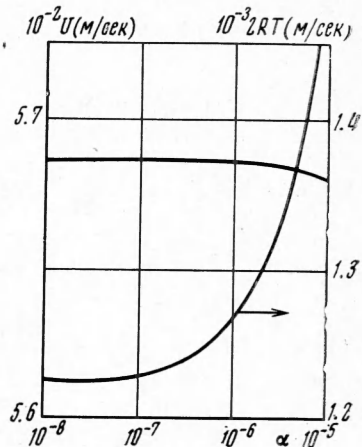
При этом единственность решения (1.1) предполагается.

Для численного решения этой вариационной задачи использовался соответственно модифицированный метод локальных вариаций [11], а для отбора решения по параметру α использовался метод работы [9].

В качестве $J(v_0)$ были использованы данные интенсивности, полученные на установке МП, описанной в работе [5], при давлении в форкамере 155 torr. В качестве источника молекулярного пучка использовалась струя аргона, истекающая из звукового сопла радиусом 0.1 мм. Газ в форкамере имел комнатную температуру (293° К). Расстояние от скиммера первой диафрагмы до среза сопла, при котором взаимодействие со



Фиг. 2



Фиг. 3

скиммером не возмущало функции распределения по скоростям, выбираясь по методике, предложенной в работе [12]. Параметры селектора были таковы, что $\varepsilon = 0.031$.

Полученная функция распределения, нормированная на максимальное значение, показана на фиг. 2 (кривая 1); по оси абсцисс отложена величина, равная отношению скорости к $\sqrt{2RT}$. Фиг. 3 иллюстрирует скорость установления по α моментов функции распределения средней скорости U и среднеквадратичного уклонения (дисперсии) ZRT .

Из доказанных в [6] теорем, в частности, следует, что для получения $f^a(v)$, отличающегося от решения (1.1) не больше чем на ε' , функция $J(v_0)$ должна быть задана с соответствующей точностью и, обратно, задание $J(v_0)$ с некоторой точностью не позволяет при уменьшении α получить $f^a(v)$, отличную от решения (1.1) меньше чем на ε_0 . При этом естественно ожидать, что точность полученного решения будет хуже точности экспериментальных данных. И хотя точная зависимость между ними не получена, в пробных расчетах [13, 9] точность решения примерно в 1.5—2 раза хуже точности исходных данных.

Широко распространенным методом получения функции распределения является метод поиска решения уравнения (1.1) в определенном классе функций с одним или несколькими неизвестными параметрами [14, 15]. Эти параметры выбираются такими, чтобы левая часть (1.1) в некотором смысле мало отличалась от измеренной $J(v_0)$. Как указано в [10], этот метод имеет смысл только тогда, когда решение уравнения действительно принадлежит этому классу.

В работах по определению функции распределения в высокоскоростных молекулярных пучках обычно считается, что

$$f_n(v) \sim v^{2n} \exp[-(v-u)^2/2RT]$$

Здесь n , u и T — параметры.

Так как прямое решение уравнения (1.1) дает возможность найти функцию распределения $f(v)$, а следовательно, и ее моменты u и $2RT$, то можно, воспользовавшись последними посмотреть, насколько близко функции $f_n(v)$ аппроксимируют численное решение уравнения селекции. Функции $f_n(v)$, нормированные на максимальное значение, для $n = 0$ и $n = 1$ приведены на фиг. 2 (кривые 2 и 3). Сравнение показывает, что функция распределения молекул по скоростям в молекулярном пучке не является максвелловской.

Поступила 6 VII 1971

ЛИТЕРАТУРА

1. Hostettler H. U., Bernstein R. B. Improved slotted disk type velocity selector for molecular beams. *Rev. Sci. Instr.*, 1960, vol. 31, No. 8, pp. 872—878.
2. Scott J. E., Morton H. S., Phillips J. A., Moonan J. F. Distribution function measurements in rarefied gas flow through an orifice. *Rarefied Gas Dynamics*, vol. 2, New York — London, Akad. Press., 1966.
3. Truijillo S. M., Roll P. K., Roth E. W. Slotted-disk velocity selector of extended range. *Rev. Sci. Instr.*, 1962, vol. 33, No. 8.
4. Павлов Э. П. Многокольцевой механический селектор. Уч. зап. ЦАГИ, 1970, т. 1, № 5.
5. Боровков И. С. Вершинин И. Д., Павлов Э. П., Санкович В. М. К определению парциальных интенсивностей компонентов молекулярного потока. ПМТФ, 1968, № 5.
6. Тихонов А. Н. О решении некорректно поставленных задач и методе регуляризации. Докл. АН СССР, 1963, т. 151, № 3.
7. Лаврентьев М. М. О некоторых некорректных задачах математической физики. Новосибирск, Изд-во СО АН СССР, 1962.
8. Иванов В. К. О линейных некорректных задачах. Докл. АН СССР, 1962, т. 145, № 2.
9. Тихонов А. Н. О некорректно поставленных задачах. В сб. «Вычислительные методы и программирование», вып. 8, М., Изд-во МГУ, 1967.
10. Тихонов А. Н., Иванов В. К., Лаврентьев М. М. Некорректно поставленные задачи. В сб. «Дифференциальные уравнения с частными производными» «Наука», 1970.
11. Черноусько Ф. Л. Метод локальных вариаций для численного решения вариационных задач. Ж. вычисл. матем. и матем. физ., 1965, т. 5, № 4.
12. Anderson J. A., Anderson R. P., Fenn I. B., Maisel G. Studies of low density supersonic jets. *Rarefied Gas Dynamics*, vol. 2, New York — London, Acad. Press., 1966.
13. Тихонов А. Н., Гласко В. Б. О приближенном решении интегральных уравнений Фредгольма I рода. Ж. вычисл. матем. и матем. физ., 1964, т. 4, № 3.
14. Nölle H. G. Approximate calculation of expansion of gas from nozzle into high vacuum. *J. Vacuum Sci. and Technol.*, 1966, vol. 3, No. 4.
15. Alcalay J. A., Knuth E. L. Molecular — beam time-of-flight spectroscopy. *Rev. Sci. Instr.*, 1969, vol. 40, No. 3.